

## I-487 動吸振ばりによる連続ばりの振動制御について

名古屋大学 学生員 岩本雅伸  
山口大学 正員 會田忠義

**1. まえがき** 分布質量と分布剛性をもつはりを動吸振器(動吸振ばり)としてはりの制振に利用する場合、その効果と設計方法を提示し、動吸振器としての利用価値があることを示してきた。<sup>1)</sup> 本研究は連続ばりに対する動吸振ばりの応用例を示し、单一ばりだけでなく、曲げ振動であれば種々のはり系の構造物にも応用できることを示す。ここでは定常振動に対する動吸振ばりの効果だけでなく、移動荷重などによる過渡振動に対する効果も示す。

## 2. はりの運動方程式とモード方程式

Fig. 1に示す主ばり(Main beam, M.B.)と動吸振ばり(Dynamic absorbing beam, D.A.B.)の運動方程式は式(1)と(2)で表される。式中、 $m_1, m_2$  : 主ばりと動吸振ばりの単位長さ質量、 $EI_1, EI_2$  : 主ばりと動吸振ばりの曲げ剛性。

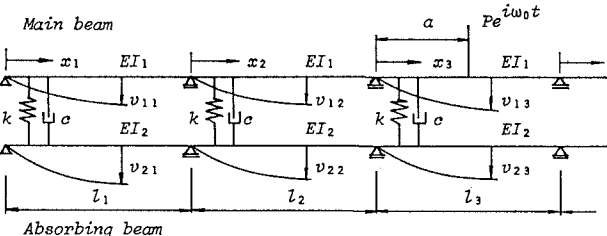


Fig. 1 動吸振ばりをもつ連続はり

$$m_1 \ddot{v}_{1k} + EI_1 \ddot{v}_{1k}''' + c (\dot{v}_{1k} - \dot{v}_{2k}) + k (v_{1k} - v_{2k}) = P e^{i\omega_0 t} \delta(x_k - \alpha) \quad (1)$$

$$m_2 \ddot{v}_{2k} + EI_2 \ddot{v}_{2k}''' + c (\dot{v}_{2k} - \dot{v}_{1k}) + k (v_{2k} - v_{1k}) = 0 \quad (2)$$

$$(k=1, 2, \dots, N)$$

主ばりと動吸振ばりは境界条件が同じであることから、両はりの固有関数は同一関数で表され、第kスパンのi次モードの固有関数を $\Phi_{ki}(x_k)$ で表すと、両はりの振動変位は次式で表される。

$$v_{1k} = \sum \rho_{1j}(t) \Phi_{kj}(x_k) \quad v_{2k} = \sum \rho_{2j}(t) \Phi_{kj}(x_k) \quad (3)$$

上式を連続ばりの各スパンの運動方程式に代入し、

$$\text{固有関数の直交条件を用いて整理すると、次の } \sum_{i=1}^N \int_0^L \Phi_{ki}(x_k) \Phi_{kj}(x_k) = \begin{cases} 1 & i=j \\ 0 & i \neq j \end{cases} \quad (4)$$

モード方程式を得る。

$$m_1 \ddot{\rho}_{1j} + EI_1 \lambda_j \rho_{1j} + c (\dot{\rho}_{1j} - \dot{\rho}_{2j}) + k (\rho_{1j} - \rho_{2j}) = P \Phi_{kj}(a) e^{i\omega_0 t} \quad (5)$$

$$m_2 \ddot{\rho}_{2j} + EI_2 \lambda_j \rho_{2j} + c (\dot{\rho}_{2j} - \dot{\rho}_{1j}) + k (\rho_{2j} - \rho_{1j}) = 0 \quad (6)$$

$$(j=1, 2, \dots, N)$$

ここで、 $\lambda_j$  は j 次の固有値である。j 次のモード方程式(5), (6)

は Fig. 2 に示す 2 質量 3 ばね系の運動方程式に相当する。2 質量 3 ばね系における動吸振器(副振動系)の最適設計条件式は質量比 $\mu$

と振幅の制限値 $Y_{1P}$ が与えられたとき、次式で表される。

$$f_2^2 = (1 - f_3^2) / (1 + \mu)^2 \quad (7) \quad Y_{1P} = \frac{1}{1 - f_3^2} \sqrt{\frac{2 + \mu}{\mu}} \quad (8)$$

$$\frac{h \rho^2}{h_0^2} = \frac{\mu (1 - f_3^2)^2}{4(1 + \mu)^3 ((1 + \mu f_3^2) \mp (1 - f_3^2) \sqrt{\mu / (2 + \mu)})} \left( \frac{3 + 2\mu}{2 + \mu} \mp 2 \sqrt{\frac{\mu}{2 + \mu}} \right) \quad (9)$$

$Y_{1P} = (\Lambda_{r1}/y_{st})$  : 主振動系の無次元最大実振幅、 $\Lambda_{r1}$  :  $\rho_{1j}$  の実振幅、 $y_{st}$  :  $P \Phi_{kj}(a)/k_1$ 、 $f_2 = \nu_2 / \nu_1$ 、 $f_3 = \nu_3 / \nu_1$ 、 $g = \omega_0 / \nu_1$ 、 $h = a_2 / \nu_1$ 、 $\mu = m_2 / m_1$ 、 $\nu_1^2 = k_1 / m_1$ 、 $\nu_2^2 = k_2 / m_2$ 、 $\nu_3^2 = k_3 / m_2$ 、 $2a_2 = c_2 / m_2$ 。

## 3. 動吸振ばりの設計

動吸振ばりは荷重の振動数に近い固有振動数に対応するモードが制振されるよ

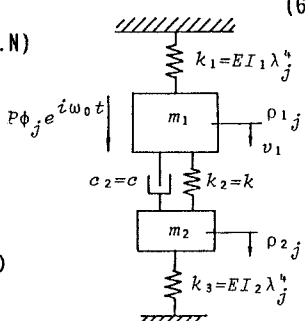


Fig. 2 2質量3ばね系

うに設計することとする。今、 $j$  次モードに注目すると、 $j$  次モードを制振するための連結ばねの係数  $k$ 、ダンパーの減衰係数  $c$  及び動吸振ばりの曲げ剛性は、質量比  $\mu$  と基準座標  $\rho_{1j}$  の無次元最大実振幅  $Y_{1P}$  が与えられたとき、それぞれ、次式で表される。

$$k = EI_1 \lambda_j^4 \frac{\sqrt{\mu(2+\mu)}}{(1+\mu)^2 Y_{1P}} \quad (10)$$

$$c = 2\mu \sqrt{m_1 h^2 E I_1 \lambda_j^4} \quad (11)$$

$$EI_2 = EI_1 \mu \left( 1 - \frac{1}{Y_{1P}} \sqrt{\frac{2+\mu}{\mu}} \right) \quad (12)$$

#### 4. 適用例 Table 1 の諸元をもつ3径間連続ばり

(等径間等剛性) を対象とし、1次モードに対して  $\mu =$

0.2、 $Y_{1P}=3.5$  と仮定して動吸振ばりを設計する。動

吸振ばりはTable 2 の通りである。この動

吸振ばりを用いたときの基準座標  $\rho_{1j}$  の共

振曲線をFig. 3 に示す。図の縦軸  $Y_1$  は各

モードの基準座標  $\rho_{1j}$  の実振幅  $A_{rj}$  を  $P \Phi_{21}(1/2)/EI_1 \lambda_j^4$  で除した値の2乗した値である。さらに、第1

スパンのスパン中央のたわみの共振曲線をFig. 4 に示す。図の縦軸は動的たわみを静的たわみで除した値

である。2次モードの他はよく制振されているのがわかる。

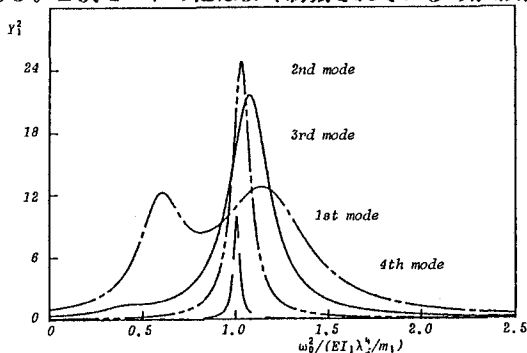


Fig. 3 基準座標の共振曲線

#### Table 1 主ばりの諸元

$$l = 15(m) , m_1 = 2.07 \times 10^3 (Ns^2/m^2)$$

$$EI_1 = 3.44 \times 10^8 (Nm^2) , P = 9800(N)$$

#### Table 2 動吸振ばりの諸元

$$m_2 = 4.14 \times 10^2 (Ns^2/m^2) , k_2 = 8.71 \times 10^4 (N/m^2)$$

$$c_2 = 2.72 \times 10^3 (Ns/m^2) , EI_2 = 3.60 \times 10^6 (Nm^2)$$

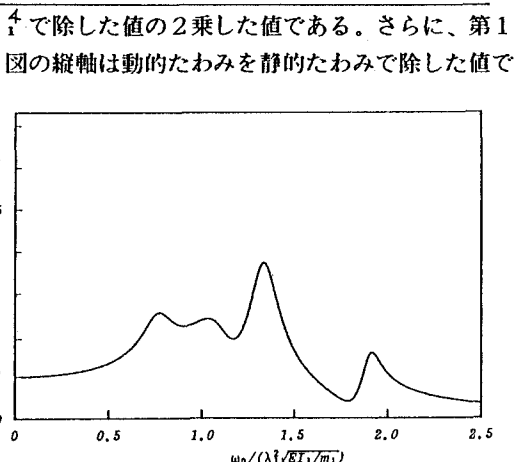


Fig. 4 第1スパンの中央点たわみの共振曲線

次に、単一集中荷重( $P$ ) が一定速度ではり上を移動する場合の第1及び第2スパンの中央の最大応答変位と速度パラメータとの関係をFig. 5 と 6 に示す。高速域で制振効果を有することがわかる。

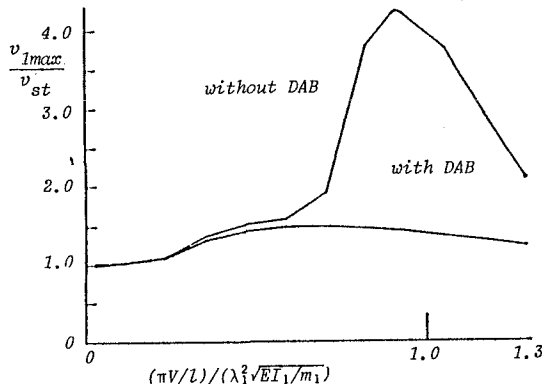


Fig. 5 第1スパンの中央点たわみの最大応答変位

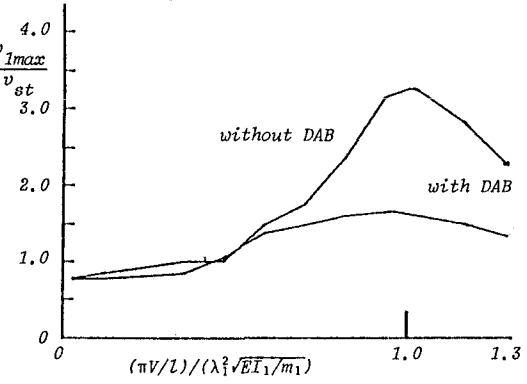


Fig. 6 第2スパンの中央点たわみの最大応答変位

参考文献 1) 會田・石川・戸田：動吸振ばりによる単一ばりの振動制御について、第45土木学会年次学術講演会講演概要集1、1990年10月